

การศึกษาโครงสร้างของผลึกสารกึ่งตัวนำแบบซาลโคไฟไรต์ของ
 AgGaTe_2 , AgInSe_2 , AgInTe_2 และ CuInTe_2
โดยการเลี้ยวเบนรังสีเอ็กซ์



นายสุน งามประยูร

ศูนย์วิทยทรัพยากร

จุฬาลงกรณ์มหาวิทยาลัย

วิทยานิพนธ์นี้เป็นส่วนหนึ่งของการศึกษาตามหลักสูตรปริญญาวิทยาศาสตรมหาบัณฑิต

ภาควิชาฟิสิกส์

บัณฑิตวิทยาลัย จุฬาลงกรณ์มหาวิทยาลัย

พ.ศ. 2531

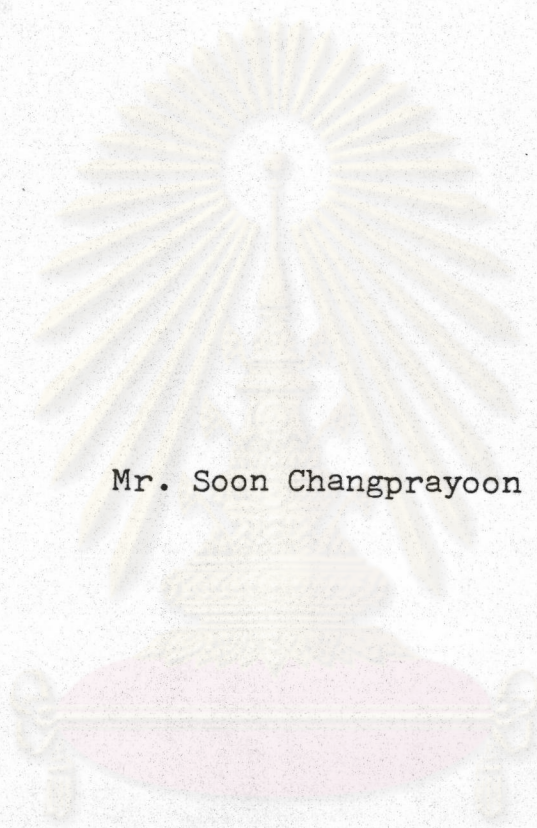
ISBN 974-568-819-3

ลิขสิทธิ์ของบัณฑิตวิทยาลัย จุฬาลงกรณ์มหาวิทยาลัย

013934

110300003

CRYSTAL STRUCTURE STUDY OF CHALCOPYRITE-TYPE
SEMICONDUCTORS OF AgGaTe_2 , AgInSe_2 , AgInTe_2
AND CuInTe_2 BY X-RAY DIFFRACTION



Mr. Soon Changprayoon

ศูนย์วิทยทรัพยากร
จุฬาลงกรณ์มหาวิทยาลัย

A Thesis Submitted in Partial Fulfillment of the Requirements
for the Degree of Master of Sciences

Department of Physics

Graduate School

Chulalongkorn university

1988

หัวข้อวิทยานิพนธ์

การศึกษาโครงสร้างของผลึกสารกึ่งตัวนำแบบซาลโคไฟไรต์
ของ AgGaTe_2 , AgInSe_2 , AgInTe_2 และ CuInTe_2
โดยการเลี้ยวเบนรังสีเอ็กซ์

โดย

นายสุน จ้างประยูร

ภาควิชา

ฟิสิกส์

อาจารย์ที่ปรึกษา

รองศาสตราจารย์สุนิจ พราหมทัต



บัณฑิตวิทยาลัย จุฬาลงกรณ์มหาวิทยาลัย อนุมัติให้บัณฑิตวิทยาลัยนี้เป็น
ส่วนหนึ่งของการศึกษาตามหลักสูตรปริญญาโทบัณฑิต

..... คณบดีบัณฑิตวิทยาลัย
(ศาสตราจารย์ ดร.ถาวร วัชรากัญ)

คณะกรรมการสอบวิทยานิพนธ์

..... ประธานกรรมการ
(รองศาสตราจารย์ ดร.พัฒนะ ภาวะนันท์)

..... อาจารย์ที่ปรึกษา
(รองศาสตราจารย์สุนิจ พราหมทัต)

..... กรรมการ
(ศาสตราจารย์ ดร.วิรุฬห์ สายถนิต)

..... กรรมการ
(รองศาสตราจารย์ ดร.ศรีนวล ถนอมกุล)

..... กรรมการ
(ผู้ช่วยศาสตราจารย์ ดร.ศจี วงศ์ไชยบูรณ์)



ลุ่ม จำงประยूर : การศีกษาโครงสร้างของผลึกสารกึ่งตัวนำแบบซาลโคไพไรท์ของ
 $AgGaTe_2$, $AgInSe_2$, $AgInTe_2$ และ $CuInTe_2$ โดยการเลี้ยวเบนรังสีเอ็กซ์ (CRYSTAL
 STRUCTURE STUDY OF CHALCOPYRITE-TYPE SEMICONDUCTORS OF $AgGaTe_2$,
 $AgInSe_2$, $AgInTe_2$ AND $CuInTe_2$ BY X-RAY DIFFRACTION) อ.ที่ปรึกษา :
 รศ.สุพนิจ พราหมศักดิ์, 189 หน้า.

สารกึ่งตัวนำที่ได้จากการนำเอาธาตุ 3 ธาตุในหมู่ I, III และ VI ในตารางธาตุมาผสมกัน
 จะได้สารกึ่งตัวนำในกลุ่ม $A^I B^{III} C^{VI}_2$ ในงานวิจัยนี้ได้ศีกษาโครงสร้างผลึกของ $AgGaTe_2$, $AgInSe_2$,
 $AgInTe_2$ และ $CuInTe_2$ มีโครงสร้างแบบซาลโคไพไรท์ (chalcopyrite structure) สจัดอยู่ใน
 ระบบเตตระโกนัลหมู่สี่มุมมาตรสามมิติ $I\bar{4}2d$ (No. 122) มีหน่วยสูตรต่อหน่วยเซลล์ ความหนาแน่นจาก
 การคำนวณ 6.007, 5.785, 6.015 และ 6.027 กรัม/(ซม.)³ ตามลำดับ

การปรับค่าคงที่แลตทิจของสารทั้งสี่โดยวิธีกำลังสองน้อยที่สุด ใช้ข้อมูลการเลี้ยวเบนรังสีเอ็กซ์
 ของผลึกผงจากภาพถ่ายด้วยกล้องกีเนียร์-เฮกก์ โครงสร้างผลึกของสารทั้งหมดปรับโดยวิธีกำลัง
 สองน้อยที่สุดแบบเมตริกเต็มใช้ข้อมูล 3 ชุด จากกล้องกีเนียร์-เฮกก์ จากดิฟแฟรคโตมิเตอร์ผลึกผงและ
 จากกล้องไวซ์เซนเบอร์ก ข้อมูลความเข้มผลึกผงไม่ได้ทำการแก้การดูดกลืนรังสีเอ็กซ์ ส่วนข้อมูลผลึก
 เตียวจากกล้องไวซ์เซนเบอร์ก ได้ทำการแก้การดูดกลืนรังสีเอ็กซ์โดยวิธีกริตเทอซ์เขียนเมื่อปรับโครง-
 สร้างผลึกแล้วได้ผลดังนี้

ชื่อสาร	ค่าคงที่แลตทิจ (Å)	พารามิเตอร์ X ของอะตอม C ที่ตำแหน่ง $8d: X, \frac{1}{4}, \frac{1}{8}$					
		ข้อมูลกีเนียร์-เฮกก์		ข้อมูลดิฟแฟรคโตมิเตอร์		ข้อมูลไวซ์เซนเบอร์ก	
		X_C	จำนวน จุดสะท้อน	X_C	จำนวน จุดสะท้อน	X_C	จำนวน จุดสะท้อน
$AgGaTe_2$	a= 6.3184 (2)	0.273 (2)	24	0.261 (9)	31	0.2771 (5)	130
	c=11.9841 (7)	R=0.077		R=0.119		R=0.106	
$AgInSe_2$	a= 6.1087 (3)	0.294 (5)	17	0.23 (2)	20	0.284 (1)	106
	c=11.7063 (6)	R=0.083		R=0.140		R=0.104	
$AgInTe_2$	a= 6.4571 (6)	0.284 (5)	16	0.312 (7)	20	-	-
	c=12.652 (3)	R=0.072		R=0.146			
$CuInTe_2$	a= 6.2078 (6)	0.221 (9)	14	0.226 (4)	19	-	-
	c=12.395 (1)	R=0.202		R=0.133			

(ผลึกเตียวของ $AgInTe_2$ และ $CuInTe_2$ เลือกหาไม่พบเลย)

พารามิเตอร์ตำแหน่ง X_C ที่ได้จากข้อมูลผลึกเตียวและผลึกผงของสาร $AgGaTe_2$ ให้ค่าใกล้เคียงกัน แต่สำหรับสาร $AgInSe_2$ ให้ผลแตกต่างกัน เมื่อเปรียบเทียบกับค่าพารามิเตอร์ X_C ที่ได้จากการทดลองกับที่ได้จากการคำนวณทางทฤษฎี CTB บวกเงื่อนไข $\eta = \eta_{\text{expt}}$ พบว่าสาร $CuInTe_2$ จะให้ค่า X_C สอดคล้องกัน ส่วนสาร $AgGaTe_2$ จะให้ค่า X_C น้อยกว่าทางทฤษฎี สำหรับสาร $AgInSe_2$ และ $AgInTe_2$ จะให้ค่า X_C มากกว่าทางทฤษฎี

ภาควิชา ฟิลิกส์
 สาขาวิชา ฟิลิกส์
 ปีการศึกษา 2530

ลายมือชื่อนิติต นายทน นางประยูร
 ลายมือชื่ออาจารย์ที่ปรึกษา นายโท พงษ์ภักดิ์



SOON CHANGPRAYOON : CRYSTAL STRUCTURE STUDY OF CHALCOPYRITE-TYPE SEMICONDUCTORS OF AgGaTe_2 , AgInSe_2 , AgInTe_2 and CuInTe_2 by X-RAY DIFFRACTION. TESIS ADVISOR : ASSO. PROF. SUPANICH PRAMATUS, Ed.D. 189 PP.

Semiconductor compounds composed of three elements in groups I, III and VI of the periodic table are called $\text{A}^{\text{I}}\text{B}^{\text{III}}\text{C}_2^{\text{VI}}$ semiconductors. In this investigation the crystal structures of AgGaTe_2 , AgInSe_2 , AgInTe_2 and CuInTe_2 are studied. They have chalcopyrite structure which belongs to the tetragonal system. The space group is $\text{I}\bar{4}2\text{d}$ (No. 122). There are four formula units per unit cell. The calculated densities are 6.007, 5.785, 6.015 and 6.027 $\text{gm}/(\text{cm})^3$ respectively.

The lattice constants of these four compounds were refined by least-squares method using X-ray powder diffraction data obtained from Guinier-Hägg photographs. The crystal structures have been refined by the full-matrix least-squares method using three sets of data from a Guinier-Hägg camera, a powder diffractometer and a Weissenberg camera. No absorption correction were made for powder intensity data. For the single crystal Weissenberg data, absorption correction using the Gaussian grid method was applied. The results of structure refinements are shown below:

compounds	lattice constants (\AA)	X parameter of the C-atoms at position 8d: $X, \frac{1}{4}, \frac{1}{8}$					
		Guinier-Hägg data		Diffractometer data		Weissenberg data	
		X_C	No. of refl.	X_C	No. of refl.	X_C	No. of refl.
AgGaTe_2	$a = 6.3184(2)$	0.273(2)	24	0.261(9)	31	0.2771(5)	130
	$c = 11.9841(7)$	$R = 0.077$		$R = 0.119$		$R = 0.106$	
AgInSe_2	$a = 6.1087(3)$	0.294(5)	17	0.23(2)	20	0.284(1)	106
	$c = 11.7063(6)$	$R = 0.083$		$R = 0.140$		$R = 0.104$	
AgInTe_2	$a = 6.4571(6)$	0.284(5)	16	0.312(7)	20	-	-
	$c = 12.652(3)$	$R = 0.072$		$R = 0.146$			
CuInTe_2	$a = 6.2078(6)$	0.221(9)	14	0.226(4)	19	-	-
	$c = 12.395(1)$	$R = 0.202$		$R = 0.133$			

(No single crystals of AgInTe_2 and CuInTe_2 were found.)

The X_C position parameters of AgGaTe_2 obtained from single crystal data and powder data are in good agreement, but those of AgInSe_2 are significantly different. By comparison of the X_C parameters from the experiments with ones predicted from the CTB plus $\eta = \eta_{\text{expt}}$ theory, it was found that X_C parameters of CuInTe_2 give good agreement. For AgGaTe_2 the experimental X_C parameter is smaller than the theoretical value. For AgInSe_2 and AgInTe_2 the X_C parameters from the experiment are greater than those from the theory.

ภาควิชา ฟิสิกส์
 สาขาวิชา ฟิสิกส์
 ปีการศึกษา 2530

ลายมือชื่อผู้พิมพ์
 ลายมือชื่ออาจารย์ที่ปรึกษา



กิตติกรรมประกาศ

วิทยานิพนธ์ฉบับนี้สำเร็จลงได้ด้วยความกรุณาและความช่วยเหลือตลอดจน
การให้คำแนะนำต่าง ๆ จากอาจารย์และผู้เกี่ยวข้องดังต่อไปนี้

รองศาสตราจารย์สุพนิจ พรหมทัต ซึ่งเป็นอาจารย์ที่ปรึกษาวิทยานิพนธ์
ผู้ให้ความรู้ ให้คำแนะนำและควบคุมการศึกษาวิจัยอย่างใกล้ชิดมาโดยตลอด

รองศาสตราจารย์ ดร.พัฒนา ภาชนะนนท์ ซึ่งเป็นผู้ให้ความรู้ทางด้าน
การศึกษาผลึกโดยวิธีการเลี้ยวเบนรังสีเอ็กซ์

ผู้ช่วยศาสตราจารย์ ดร.ตจี วงศ์ไชยบูรณ์ ซึ่งเป็นผู้ให้ความรู้ทางด้าน
การศึกษาผลึกโดยวิธีการเลี้ยวเบนรังสีเอ็กซ์

ศาสตราจารย์ ดร.วิรุฬห์ สายคณิต และ ผู้ช่วยศาสตราจารย์สมพงษ์
ฉัตรภรณ์ ซึ่งเป็นผู้ควบคุมห้องปฏิบัติการสารกึ่งตัวนำ ที่ได้ให้สารกึ่งตัวนำมาใช้ใน
การศึกษาวิจัยครั้งนี้

ผู้ช่วยศาสตราจารย์ ดร.วสันต์ พงศ์พิชิต หัวหน้าภาควิชาธรณีวิทยา
ได้กรุณาให้ความสะดวกในการใช้เครื่องดิฟแฟรคโตมิเตอร์

รองศาสตราจารย์สมชาย ทยานยง ผู้อำนวยการสถาบันคอมพิวเตอร์
จุฬาลงกรณ์มหาวิทยาลัย รวมทั้งเจ้าหน้าที่ของสถาบันที่ได้ให้ความสะดวกในการใช้
เครื่องคอมพิวเตอร์

คุณประเสริฐ เขียวพิมพา เจ้าหน้าที่ประจำเครื่องดิฟแฟรคโตมิเตอร์
ผู้ให้คำแนะนำในการใช้เครื่องดิฟแฟรคโตมิเตอร์เป็นอย่างดี

จึงขอขอบพระคุณมา ณ ที่นี้

จุฬาลงกรณ์มหาวิทยาลัย



สารบัญ

	หน้า
บทคัดย่อภาษาไทย	ข
บทคัดย่อภาษาอังกฤษ	ง
กิตติกรรมประกาศ	จ
รายการตารางประกอบ	ญ
รายการรูปประกอบ	ฉ
บทที่	
1 บทนำ	1
2 ระบบผลึกและโครงสร้างของผลึกแบบซาลโคไฟไรท์	9
2.1 ระบบผลึกและแลตทิซของบราวเวส	9
2.2 พันธะ, ความยาวพันธะและมุมพันธะ	11
2.3 รัศมีของอะตอมหรือไอออนและรัศมีโคเวเลนต์	17
2.4 โครงสร้างของผลึกแบบซาลโคไฟไรท์	19
2.5 การเลื่อนแบบเตตระโกนัลของโครงสร้างแบบ ซาลโคไฟไรท์	22
3 การหาค่าคงที่แลตทิซโดยวิธีเลี้ยวเบนรังสีเอ็กซ์	32
3.1 ทฤษฎีการเลี้ยวเบนรังสีเอ็กซ์	32
3.1.1 การเลี้ยวเบนรังสีเอ็กซ์โดยผลึก	33
3.1.2 เงื่อนไขของลาวเอ	35
3.1.3 กฎของแบรกก์	38
3.1.4 แลตทิซส่วนกลับ	39
3.1.5 การหาค่าคงที่แลตทิซในระบบเตตระโกนัล	42
3.1.6 ความสัมพันธ์ระหว่างแลตทิซส่วนกลับ กฎของแบรกก์และเงื่อนไขของลาวเอ ...	43

3.2	การเลี้ยวเบนรังสีเอ็กซ์โดยผลึกผงในกล้อง กีเนียร์ - เฮกก์	46
3.2.1	ลักษณะและหลักการทำงานของกล้อง กีเนียร์ - เฮกก์	46
3.2.2	การหาค่าคงที่แลตทิซจากภาพถ่ายผลึกผง โดยกล้องกีเนียร์ - เฮกก์	49
3.2.2.1	การวัดฟิล์มกีเนียร์ - เฮกก์ โดยใช้เครื่องวัดที่มีเวอร์เนียร์	50
3.2.2.2	การวัดฟิล์มกีเนียร์ - เฮกก์ โดยใช้ระบบฟิล์มสแกนเนอร์ .	52
3.3	การเลี้ยวเบนรังสีเอ็กซ์โดยผลึกผงในเครื่อง ดิฟแฟรคโตมิเตอร์	56
3.3.1	ลักษณะและหลักการทำงานของเครื่อง ดิฟแฟรคโตมิเตอร์	56
3.3.2	การหาค่าคงที่แลตทิซจากข้อมูลรูปภาพที่ได้ จากเครื่องดิฟแฟรคโตมิเตอร์	59
3.4	การเลี้ยวเบนรังสีเอ็กซ์โดยผลึกเดี่ยวในกล้อง ไวซ์เซนเบอร์ก	59
3.4.1	ลักษณะและหลักการทำงานของกล้อง ไวซ์เซนเบอร์ก	59
3.4.2	การถ่ายภาพแบบโรเทชันและการคำนวณหา ค่าคงที่แลตทิซ	61
3.4.3	การถ่ายภาพแบบไวซ์เซนเบอร์กและการ คำนวณหาค่าคงที่แลตทิซ	63
4	วิธีการทดลองและผลการทดลอง	66
4.1	การเลี้ยวเบนรังสีเอ็กซ์โดยผลึกผงในกล้องกีเนียร์ - เฮกก์	66

4.1.2	การถ่ายภาพและรูปแบบการเลี้ยวเบน รังสีเอ็กซ์ของภาพถ่าย	67
4.1.3	ผลการคำนวณค่าคงที่แลตทิซจากกล้อง กีเนียร์ - เฮกก์	67
4.2	การเลี้ยวเบนรังสีเอ็กซ์โดยผลึกผงในเครื่องดิฟแฟรค โทมิเตอร์	79
4.2.1	การเตรียมสารเพื่อถ่ายภาพในเครื่อง ดิฟแฟรคโทมิเตอร์	79
4.2.2	การถ่ายบันทึกข้อมูลการเลี้ยวเบนรังสีเอ็กซ์ ในเครื่องดิฟแฟรคโทมิเตอร์แบบผลึกผง ..	80
4.3	การเลี้ยวเบนรังสีเอ็กซ์โดยผลึกเดี่ยว	81
4.3.1	การเลือกผลึกเดี่ยวและติดผลึกบนหัวโกนิโอ มิเตอร์	81
4.3.2	การปรับแกนผลึกให้เป็นแกนหมุน	91
4.3.3	การถ่ายภาพออสซิลเลชัน, โรเทชันและ ไวซ์เซนเบอร์ก	95
4.3.4	ผลการคำนวณค่าคงที่แลตทิซจากกล้อง ไวซ์เซนเบอร์ก	106
4.4	การหาโครงสร้างของผลึก	109
4.4.1	การหาค่าความหนาแน่น, จำนวนหน่วยสูตร ในหนึ่งหน่วยเซลล์และสัมประสิทธิ์การดูด กลืนรังสีเอ็กซ์เชิงเส้นของสาร	109
4.4.2	การหาหุ้สมมาตรสามมิติ	112
4.4.3	การรวบรวมข้อมูลความเข้ม	115
4.4.4	การคำนวณแอมพลิจูดแฟกเตอร์โครงสร้าง.	118
4.4.5	การคำนวณหาตำแหน่งอะตอม	126
4.4.6	การปรับโครงสร้าง	143

5	สรุปและวิจารณ์ผลการทดลอง	166
	เอกสารอ้างอิง	177
	ภาคผนวก ก.	182
	ภาคผนวก ข.	187
	ภาคผนวก ค.	188
	ประวัติผู้เขียน	189



ศูนย์วิทยทรัพยากร
จุฬาลงกรณ์มหาวิทยาลัย

รายการตารางประกอบ

ตารางที่		หน้า
1.1	แสดงตารางธาตุของธาตุต่าง ๆ	3
2.1	ระบบผลึก 7 ระบบและ 14 แลตทิซของบราวเวส	10
2.2	เปรียบเทียบค่ารัศมีของแอนนอน - ฟรีวิทท์สำหรับพิคตแบบสี่ทบ กับรัศมีโคเวเลนต์ของโครงสร้างแบบเชิงสี่ ที่คำนวณโดยวิธี ของพอลิงและที่คำนวณโดย แวน เวกซ์เทินและฟิลลิปส์ ...	19
2.3	ข้อมูลเส้นการเลี้ยวเบนรังสีเอ็กซ์ของผลึกผงซาลโคไฟไรท์ ..	21
3.1	แสดงค่า θ , $(S-S_0)_{calc}$ และ hkl ของสารซิลิกอน ($a = 5.431065 \text{ \AA}$) ที่ได้จากการคำนวณโดยใช้ความยาว คลื่นรังสีเอ็กซ์ $CuK \alpha 1 (\lambda = 1.54060 \text{ \AA})$	50
4.1	ก. แสดงข้อมูลขาออกจากระบบฟิล์มสแกนเนอร์ของสาร $AgGaTe_2$	69
	ข. แสดงข้อมูลขาออกจากระบบฟิล์มสแกนเนอร์ของสาร $AgInSe_2$	71
	ค. แสดงข้อมูลขาออกจากระบบฟิล์มสแกนเนอร์ของสาร $AgInTe_2$	73
	ง. แสดงข้อมูลขาออกจากระบบฟิล์มสแกนเนอร์ของสาร $CuInTe_2$	74
4.2	ก. แสดงผลการคำนวณการปรับค่าคงที่แลตทิซของสาร $AgGaTe_2$ โดยโปรแกรม CELNE	75
	ข. แสดงผลการคำนวณการปรับค่าคงที่แลตทิซของสาร $AgInSe_2$ โดยโปรแกรม CELNE	76
	ค. แสดงผลการคำนวณการปรับค่าคงที่แลตทิซของสาร $AgInTe_2$ โดยโปรแกรม CELNE	77

	ง. แสดงผลการคำนวณการปรับค่าคงที่แลคทิจของสาร CuInTe ₂ โดยโปรแกรม CELNE	78
4.3	แสดงการตั้งส่วนควบคุมเครื่องดิฟแฟรคโตมิเตอร์ ในการ บันทึกข้อมูลหาจำนวนพีค	80
4.4	แสดงการตั้งส่วนควบคุมการบันทึกข้อมูลในการหาพื้นที่ใต้กราฟ.	81
4.5	ก. แสดงค่า hkl , มุมของแบรกก์ (θ) , ความเข้ม (I) แฟกเตอร์ลอเรนซ์และโพลาไรเซชัน (Lp) , แฟกเตอร์ พหุคูณ (m) , แอมพลิจูดแฟกเตอร์โครงสร้างสังเกต $ F_o _{hkl}$ และความเบี่ยงเบนมาตรฐาน (σ_F) ของสาร AgGaTe ₂ ที่ได้จากเครื่องดิฟแฟรคโตมิเตอร์	84
	ข. แสดงค่า hkl , มุมของแบรกก์ (θ) , ความเข้ม (I) แฟกเตอร์ลอเรนซ์และโพลาไรเซชัน (Lp) , แฟกเตอร์ พหุคูณ (m) , แอมพลิจูดแฟกเตอร์โครงสร้างสังเกต $ F_o _{hkl}$ และความเบี่ยงเบนมาตรฐาน (σ_F) ของสาร AgInSe ₂ ที่ได้จากเครื่องดิฟแฟรคโตมิเตอร์	86
	ค. แสดงค่า hkl , มุมของแบรกก์ (θ) , ความเข้ม (I) แฟกเตอร์ลอเรนซ์และโพลาไรเซชัน (Lp) , แฟกเตอร์ พหุคูณ (m) , แอมพลิจูดแฟกเตอร์โครงสร้างสังเกต $ F_o _{hkl}$ และความเบี่ยงเบนมาตรฐาน (σ_F) ของสาร AgInTe ₂ ที่ได้จากเครื่องดิฟแฟรคโตมิเตอร์	87
	ง. แสดงค่า hkl , มุมของแบรกก์ (θ) , ความเข้ม (I) แฟกเตอร์ลอเรนซ์และโพลาไรเซชัน (Lp) , แฟกเตอร์ พหุคูณ (m) , แอมพลิจูดแฟกเตอร์โครงสร้างสังเกต $ F_o _{hkl}$ และความเบี่ยงเบนมาตรฐาน (σ_F) ของสาร CuInTe ₂ ที่ได้จากเครื่องดิฟแฟรคโตมิเตอร์	88
4.6	แสดงผลการคำนวณค่าคงที่แลคทิจตามแกน b ของผลึก AgGaTe ₂ และ AgInSe ₂ จากภาพถ่ายโรเทชันและออสซิลเล	

	ชั้นตามลำดับ	106
4.7	ก. แสดงผลการคำนวณค่าคงที่แลตทิซตามแกน a และ c ของผลึก จากภาพถ่ายไวซ์เซนเบอร์กลีย์เออร์ที่ 0 ของสาร $AgGaTe_2$	107
	ข. แสดงผลการคำนวณค่าคงที่แลตทิซตามแกน a และ c ของผลึก จากภาพถ่ายไวซ์เซนเบอร์กลีย์เออร์ที่ 0 ของสาร $AgInSe_2$	108
4.8	แสดงผลการทดลองและคำนวณหาค่าความหนาแน่น จำนวนหน่วยสูตรในหนึ่งหน่วยเซลล์และค่าสัมประสิทธิ์การดูดกลืนรังสีเอ็กซ์เชิงเส้นของสาร $AgGaTe_2$, $AgInSe_2$, $AgInTe_2$ และ $CuInTe_2$	111
4.9	แสดงเงื่อนไขการเกิดจุดสะท้อนจากภาพถ่ายไวซ์เซนเบอร์กลีย์ของสาร $AgGaTe_2$ และ $AgInSe_2$	115
4.10	แสดงระยะห่างและค่านีมิลเลอร์ของระนาบปิดล้อมผลึก $AgGaTe_2$	124
4.11	แสดงระยะห่างและค่านีมิลเลอร์ของระนาบปิดล้อมผลึก $AgInSe_2$	124
4.12	แสดงเวกเตอร์ฮาร์ตเงอร์ที่ตำแหน่งพิเศษ 4a, 4b และ 8d ของหมู่สมมาตรสามมิติ $I\bar{4}2d$	130
4.13	ก. แสดงผลลัพธ์ของการปรับโครงสร้างของสาร $AgGaTe_2$, $AgInSe_2$, $AgInTe_2$ และ $CuInTe_2$ โดยอาศัยข้อมูลจากภาพถ่ายการเลี้ยวเบนรังสีเอ็กซ์โดยผลึกผง จากกล้องกีเนียร์ - เฮกก์	146
	ข. แสดงผลลัพธ์ของการปรับโครงสร้างของสาร $AgGaTe_2$, $AgInSe_2$, $AgInTe_2$ และ $CuInTe_2$ โดยอาศัยข้อมูลการเลี้ยวเบนรังสีเอ็กซ์โดยผลึกผง จากเครื่องดิฟแฟร็กโทมิเตอร์	147

4.14	ก. แสดงผลลัพธ์ของการปรับโครงสร้างของสาร $AgGaTe_2$ โดยอาศัยข้อมูลจากภาพถ่ายการเลี้ยวเบนรังสีเอ็กซ์โดยผลึกเดี่ยวจากกล้องไวซ์เซนเบอร์ก	148
	ข. แสดงผลลัพธ์ของการปรับโครงสร้างของสาร $AgInSe_2$ โดยอาศัยข้อมูลจากภาพถ่ายการเลี้ยวเบนรังสีเอ็กซ์โดยผลึกเดี่ยวจากกล้องไวซ์เซนเบอร์ก	149
4.15	ค่า $ F'_O $ และ $ F'_C $ ของจุดสะท้อน hkl หลังจากการคำนวณปรับโครงสร้างของผลึกผงลึนสุดลง โดยอาศัยข้อมูลจากกล้องกีเนียร์ - เฮกก์	150
4.16	ค่า $ F'_O $ และ $ F'_C $ ของจุดสะท้อน hkl หลังจากการคำนวณปรับโครงสร้างของผลึกผงลึนสุดลง โดยอาศัยข้อมูลจากเครื่องดิฟแฟรคโตมิเตอร์	152
4.17	ค่า $ F'_O $ และ $ F'_C $ ของจุดสะท้อน hkl หลังจากการคำนวณปรับโครงสร้างของผลึกเดี่ยว $AgGaTe_2$ ลึนสุดลง	154
4.18	ค่า $ F'_O $ และ $ F'_C $ ของจุดสะท้อน hkl หลังจากการคำนวณปรับโครงสร้างของผลึกเดี่ยว $AgInSe_2$ ลึนสุดลง	157
5.1	แสดงค่าคงที่แลตทิซ a และ c ของสาร $AgGaTe_2, AgInSe_2, AgInTe_2$ และ $CuInTe_2$ ที่ได้จากการทดลองในครั้งนีเปรียบเทียบกับค่าที่ได้จากการทดลองของนักวิทยาศาสตร์และบุคคลอื่น ๆ	166
5.2	แสดงผลการคำนวณ η, a และ x ตามทฤษฎี CTB บวกเงื่อนไข $\eta = \eta_{\text{expt}}$ ของสาร $AgGaTe_2, AgInSe_2, AgInTe_2$ และ $CuInTe_2$ โดยใช้คาร์ทีมีตามแบบของแซนนอน - ฟรีวิตท์ พอลิงและฟิลลิปส์	168
5.3	แสดงผลการปรับโครงสร้างของผลึก $AgGaTe_2, AgInSe_2, AgInTe_2$ และ $CuInTe_2$	169

ตารางที่

หน้า

5.4	แสดงค่า x ที่คำนวณตามสมการ (5.3) ของสาร $AgGaTe_2$, $AgInSe_2$, $AgInTe_2$ และ $CuInTe_2$	172
5.5	เปรียบเทียบค่า x (หรือ n) ที่ได้จากการทดลองนี้กับค่าที่คำนวณจากทางทฤษฎีและการทดลองของนักวิทยาศาสตร์อื่น ๆ .	173



ศูนย์วิทยทรัพยากร
จุฬาลงกรณ์มหาวิทยาลัย

รายการรูปประกอบ

รูปที่		หน้า
1.1	แสดงลักษณะพันธะเชิงสี่ของสารกึ่งตัวนำ	1
1.2	แสดงความสัมพันธ์ระหว่างสารกึ่งตัวนำประเภทต่าง ๆ	5
2.1	แสดงตัวแปร a, b, c และ α, β, γ ของหนึ่งหน่วยเซลล์ ...	9
2.2	ความยาวพันธะและมุมพันธะในการยึดกันแบบเชิงสี่ปกติ	11
2.3	แบบจำลองทะเลอิเล็กตรอน	14
2.4	การเคลื่อนที่ของระนาบในผลึก	14
2.5	การเคลื่อนที่ของระนาบในผลึกไอออนิก	15
2.6	แสดงลักษณะการจัดเรียงตัวของไดโพลคู่หนึ่งในแบบต่าง ๆ ..	15
2.7	ก. แสดงการจัดเรียงตัวของอะตอมในโครงสร้างแบบซาลโคไฟไรท์กลุ่ม I-III-VI ₂ ในหนึ่งหน่วยเซลล์	20
	ข. แสดงตำแหน่งที่อยู่ของอะตอมหมู่ I คือ Cu หรือ Ag .	20
	ค. แสดงตำแหน่งที่อยู่ของอะตอมหมู่ III คือ In หรือ Ga .	20
	ง. แสดงตำแหน่งที่อยู่ของอะตอมหมู่ VI คือ Te หรือ Se .	20
2.8	ก. โครงสร้างของสารประกอบคู่แบบซิงค์เบลนด์ ซึ่งเป็นระบบผลึกแบบคิวบิก แสดงในรูปจำนวน 2 หน่วยเซลล์	22
	ข. โครงสร้างของสารประกอบสามแบบซาลโคไฟไรท์ แสดงในรูปจำนวน 1 หน่วยเซลล์	22
2.9	แสดงค่า u_{expt} ที่ได้จากการทดลองและค่า u_{calc} ตามสมการ(2.4)	24
2.10	แสดงความสัมพันธ์ระหว่างค่า a_{expt} และ a_{calc} ของสาร ABC ₂ โดยใช้ CTB บวกเงื่อนไข $\eta = \eta_{\text{expt}}$	28
2.11	แสดงความสัมพันธ์ระหว่างค่า u_{expt} และ u_{calc} ของสาร ABC ₂ โดยใช้ CTB บวกเงื่อนไข $\eta = \eta_{\text{expt}}$	28

รูปที่		หน้า
2.12	เปรียบเทียบความสัมพันธ์ระหว่าง a_{calc} และ a_{expt} ของ สาร ABC_2 โดยใช้ CTB บวกเงื่อนไข $\eta = \eta_{tet}$	30
3.1	สเปกตรัมแม่เหล็กไฟฟ้า	32
3.2	แสดงลักษณะการกระเจิงของรังสีเอ็กซ์ที่ตกกระทบบิเลคตรอน 1 ตัว	33
3.3	แสดงการเลี้ยวเบนรังสีเอ็กซ์โดยอะตอมที่เรียงกันอย่างเป็น ระเบียบ	34
3.4	แสดงเงื่อนไขของลาวเอิน 1 มิติ	35
3.5	แสดงกรวยการเลี้ยวเบนของลาวเอิน 1 มิติ	36
3.6	แสดงกรวยการเลี้ยวเบนของลาวเอิน 2 มิติ	37
3.7	แสดงกรวยการเลี้ยวเบนของลาวเอิน 3 มิติ	38
3.8	แสดงการเลี้ยวเบนรังสีเอ็กซ์ตามกฎของแบรกก์	38
3.9	แสดงจุดส่วนกลับที่ใช้แทนระนาบ hkl ใด ๆ	40
3.10	แสดงแลตทิซส่วนกลับที่ใช้แทนระนาบ hkl ใด ๆ ในแลตทิซ - ปริภูมิ ในระนาบ ab ของผลึก	41
3.11	แสดงความสัมพันธ์ระหว่างแลตทิซส่วนกลับและกฎของแบรกก์ ..	44
3.12	แสดงความสัมพันธ์เงื่อนไขของลาวเอินกับแลตทิซส่วนกลับ	45
3.13	กล้องกีเนียร์ - เฮกซ์ชนิดปรับโฟกัสแบบ Philips XDC- 700 แสดงภายในห้องตัวกล้อง	47
3.14	แสดงหลักการทำงานของกล้องกีเนียร์ - เฮกซ์	48
3.15	แสดงภาพถ่ายของสาร $AgInSe_2$ ที่ถ่ายด้วยกล้องกีเนียร์ - เฮกซ์	49
3.16	แสดงกราฟที่เขียนระหว่าง ΔS กับ $(S-S_0)_{obs}$ ของเส้นซิลิ คอนที่ผสมกับผลึกผงควอทซ์	51
3.17	แสดงชุดภาพรูปเหลี่ยมของระบบฟิล์มสแกนเนอร์	52
3.18	แสดงลักษณะภายนอกของเครื่องวัดฟิล์มไลน์สแกนเนอร์ แอล เอส 18	53

รูปที่	ค หน้า
3.19 ก. แสดงเฉพาะส่วนวัดความเข้มแสง	54
ข. แสดงส่วนประกอบที่สำคัญภายในของเครื่องวัดฟิล์มไลน์ สแกนเนอร์ แอลเอส 18	54
3.20 ก. แสดงที่จับฟิล์มและการวางระยะของฟิล์มเมื่อดูตามยาว .	55
ข. แสดงที่จับฟิล์มเมื่อดูทางด้านข้าง	55
3.21 แสดงหลักการทำงานของเครื่องดิฟแฟรคโทมิเตอร์	56
3.22 แสดงชุดภาพรูปเหลี่ยมการทำงานของเครื่องดิฟแฟรคโทมิเตอร์	57
3.23 แสดงรายละเอียดของอุปกรณ์ที่สำคัญในเครื่องดิฟแฟรคโทมิ - เตอร์	58
3.24 แสดงรายละเอียดของอุปกรณ์ที่สำคัญในเครื่องดิฟแฟรคโทมิ - เตอร์	58
3.25 ก. แสดงส่วนประกอบต่าง ๆ ของตัวกล้องไวซ์เซนเบอร์ก .	60
ข. แสดงตัวกันเส้นเลย์เออร์	60
3.26 แสดงการเลี้ยวเบนรังสีเอ็กซ์ในการถ่ายภาพแบบโรเทชัน ...	61
3.27 แสดงค่ามุม μ ที่ต้องเอียงกล้องและระยะที่ต้องเลื่อนตัวกันเส้น เลย์เออร์ ในการถ่ายภาพไวซ์เซนเบอร์กเลย์เออร์ที่ θ ..	63
3.28 ก. จุดสะท้อน P และ Q ห่างจากจุดกึ่งกลางเท่ากัน	65
ข. การเกิดจุดสะท้อนบนฟิล์ม	65
4.1 แผ่นวงแหวนที่บรรจุสารเพื่อถ่ายภาพในกล้องกีเนียร์ - เฮกก์	66
4.2 แสดงภาพถ่ายการเลี้ยวเบนรังสีเอ็กซ์ของสาร $AgGaTe_2$ $AgInSe_2$, $AgInTe_2$ และ $CuInTe_2$ จากกล้องกีเนียร์ - เฮกก์โดยถ่ายด้วยฟิล์มเก็บความเข้มCEA-REFLEX 15.....	68
4.3 ก. ที่บรรจุสารตัวอย่างในเครื่องดิฟแฟรคโทมิเตอร์	79
ข. แผ่นสไลด์ที่ใช้เตรียมสารตัวอย่างในการทดลอง	79
4.4 แสดงการบันทึกจำนวนฟิสิกที่มุม 2θ ของแบรกก์ ที่ถ่ายจาก เครื่องดิฟแฟรคโทมิเตอร์ ใช้รังสีเอ็กซ์ชนิด $CuK\alpha$ ที่ 40 KV, 30 mA มี Ni เป็นตัวกรอง ใช้เวลาในการ	

รูปที่	หน้า
	๘๒
4.5	๙๐
4.6	๙๑
4.7	๙๓
4.8	๙๕
4.9	๙๖
	๙๗
4.10	๙๘
	๙๙
	๑๐๐

	ของสาร $AgGaTe_2$ มี b เป็นแกนหมุน ถ่ายนาน 100 ชั่วโมง ใช้รังสี $CuK\alpha$ ที่ 40 KV, 30mA มี Ni เป็นตัวกรอง	101
จ.	ภาพถ่ายไวซ์เซนเบอร์กเลย์เออร์ที่ 0 หรือ (h0l) ของสาร $AgInSe_2$ มี b เป็นแกนหมุน ถ่ายนาน 125 ชั่วโมง ใช้รังสี $CuK\alpha$ ที่ 40 KV, 30mA มี Ni เป็นตัวกรอง	102
ฉ.	ภาพถ่ายไวซ์เซนเบอร์กเลย์เออร์ที่ 1 หรือ (h1l) ของสาร $AgInSe_2$ มี b เป็นแกนหมุน ถ่ายนาน 125 ชั่วโมง ใช้รังสี $CuK\alpha$ ที่ 40 KV, 30mA มี Ni เป็นตัวกรอง	103
ช.	ภาพถ่ายไวซ์เซนเบอร์กเลย์เออร์ที่ 2 หรือ (h2l) ของสาร $AgInSe_2$ มี b เป็นแกนหมุน ถ่ายนาน 125 ชั่วโมง ใช้รังสี $CuK\alpha$ ที่ 40 KV, 30mA มี Ni เป็นตัวกรอง	104
ซ.	ภาพถ่ายไวซ์เซนเบอร์กเลย์เออร์ที่ 3 หรือ (h3l) ของสาร $AgInSe_2$ มี b เป็นแกนหมุน ถ่ายนาน 125 ชั่วโมง ใช้รังสี $CuK\alpha$ ที่ 40 KV, 30mA มี Ni เป็นตัวกรอง	105
4.11	ระนาบแลตทิซส่วนกลับ (hnl) n = 0 ถึง 3 แสดงการ เกิดจุดสะท้อนตามภาพไวซ์เซนเบอร์กของสาร $AgGaTe_2$	113
4.12	ระนาบแลตทิซส่วนกลับ (hnl) n = 0 ถึง 3 แสดงการ เกิดจุดสะท้อนตามภาพไวซ์เซนเบอร์กของสาร $AgInSe_2$	114
4.13	แสดงความสัมพันธ์ระหว่างค่า ρ และสเกลแก่ความเข้มของ สาร $AgGaTe_2$	117
4.14	แบบจำลองรูปร่างผลึกและตำแหน่งพิกัดของจุดต่าง ๆ บนผลึก $AgGaTe_2$ โดยใช้มาตราส่วน 1 ซม. : 0.02 มม. ...	120

รูปที่	หน้า
4.15	แบบจำลองรูปร่างผลึกและตำแหน่งพิกัดของจุดต่าง ๆ บนผลึก AgInSe ₂ โดยใช้มาตราส่วน 1 ซม. : 0.1 มม. 121
4.16	แสดงการหาสมการของระนาบที่ผ่านจุด 3 จุดใด ๆ ใน 3 มิติ.. 122
4.17	ก. แสดงแผนภาพแพทเทอร์สัน P(u,0,w) ของสาร AgGaTe ₂ เมื่อ u และ w มีค่าตั้งแต่ 0 ถึง 0.5 131
	ข. แสดงแผนภาพแพทเทอร์สัน P(u,½,w) ของสาร AgGaTe ₂ เมื่อ u และ w มีค่าตั้งแต่ 0 ถึง 0.5 132
	ค. แสดงแผนภาพแพทเทอร์สัน P(u,½,w) ของสาร AgGaTe ₂ เมื่อ u และ w มีค่าตั้งแต่ 0 ถึง 0.5 133
4.18	ก. แสดงแผนภาพแพทเทอร์สัน P(u,0,w) ของสาร AgInSe ₂ เมื่อ u และ w มีค่าตั้งแต่ 0 ถึง 0.5 134
	ข. แสดงแผนภาพแพทเทอร์สัน P(u,½,w) ของสาร AgInSe ₂ เมื่อ u และ w มีค่าตั้งแต่ 0 ถึง 0.5 135
	ค. แสดงแผนภาพแพทเทอร์สัน P(u,½,w) ของสาร AgInSe ₂ เมื่อ u และ w มีค่าตั้งแต่ 0 ถึง 0.5 136
4.19	ก. แสดงแผนภาพความหนาแน่นอิเล็กตรอนสังเกต $\rho(x,0,z)$ ของสาร AgGaTe ₂ 137
	ข. แสดงแผนภาพความหนาแน่นอิเล็กตรอนสังเกต $\rho(x,½,z)$ ของสาร AgGaTe ₂ 138
	ค. แสดงแผนภาพความหนาแน่นอิเล็กตรอนสังเกต $\rho(x,½,z)$ ของสาร AgGaTe ₂ 139
4.20	ก. แสดงแผนภาพความหนาแน่นอิเล็กตรอนสังเกต $\rho(x,0,z)$ ของสาร AgInSe ₂ 140
	ข. แสดงแผนภาพความหนาแน่นอิเล็กตรอนสังเกต $\rho(x,½,z)$ ของสาร AgInSe ₂ 141
	ค. แสดงแผนภาพความหนาแน่นอิเล็กตรอนสังเกต $\rho(x,½,z)$ ของสาร AgInSe ₂ 142

รูปที่		หน้า
4.21	แสดงค่าความยาวพันธะและมุมพันธะระหว่างอะตอมในผลึก โดยอาศัยข้อมูลการปรับโครงสร้างจากกล้องกีเนียร์ - เซกต์ .	160
4.22	แสดงค่าความยาวพันธะและมุมพันธะระหว่างอะตอมในผลึก ของสาร $AgGaTe_2$ ข้อมูลจากการปรับโครงสร้างของ ผลึกเดี่ยว	164
4.23	แสดงค่าความยาวพันธะและมุมพันธะระหว่างอะตอมในผลึก ของสาร $AgInSe_2$ ข้อมูลจากการปรับโครงสร้างของ ผลึกเดี่ยว	165

ศูนย์วิทยทรัพยากร
จุฬาลงกรณ์มหาวิทยาลัย